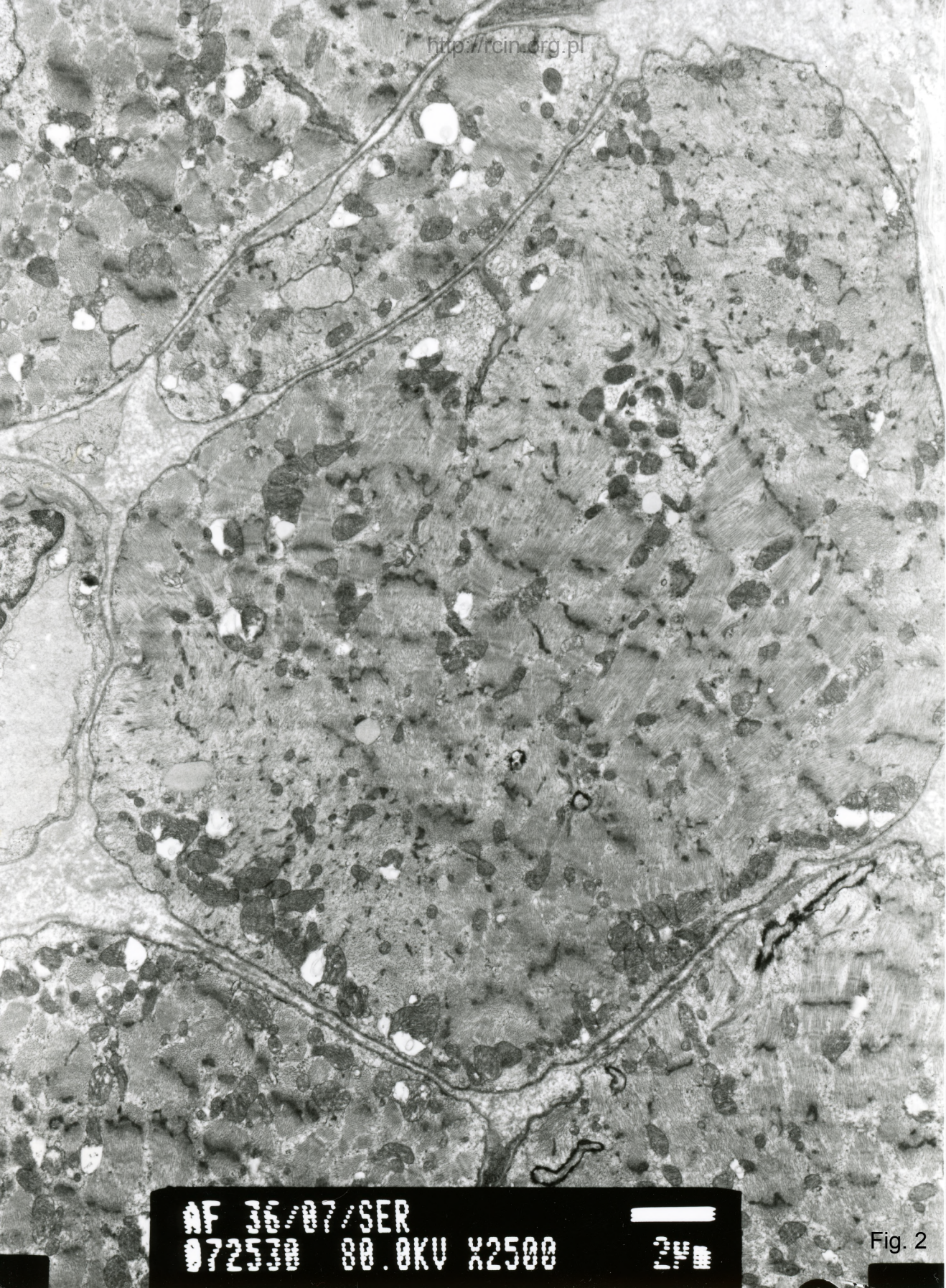
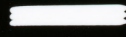


AF 36/07/SER
072529 80.0KV X2500

Fig. 1

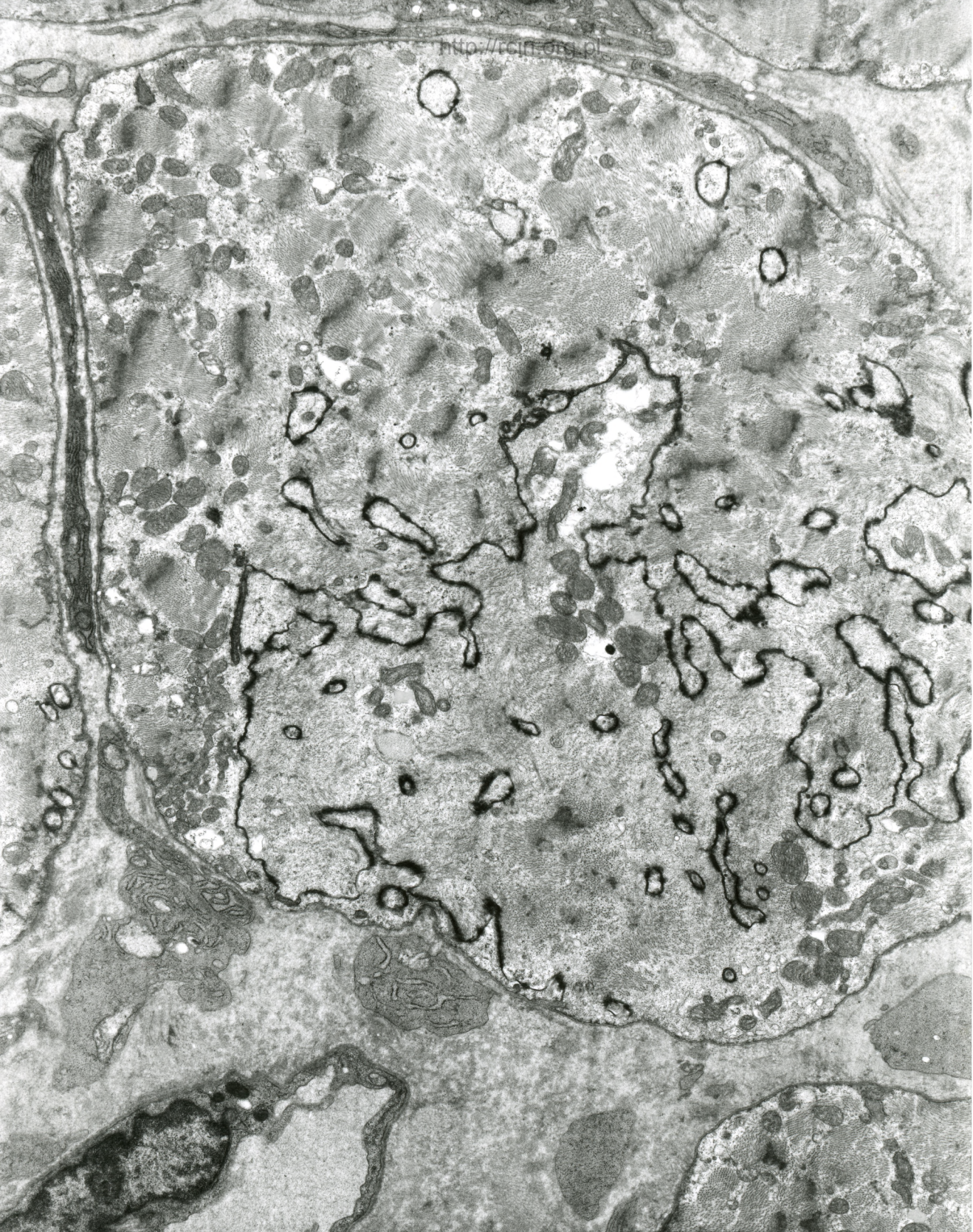


AF 36/07/SER
072530 80.0KV X2500



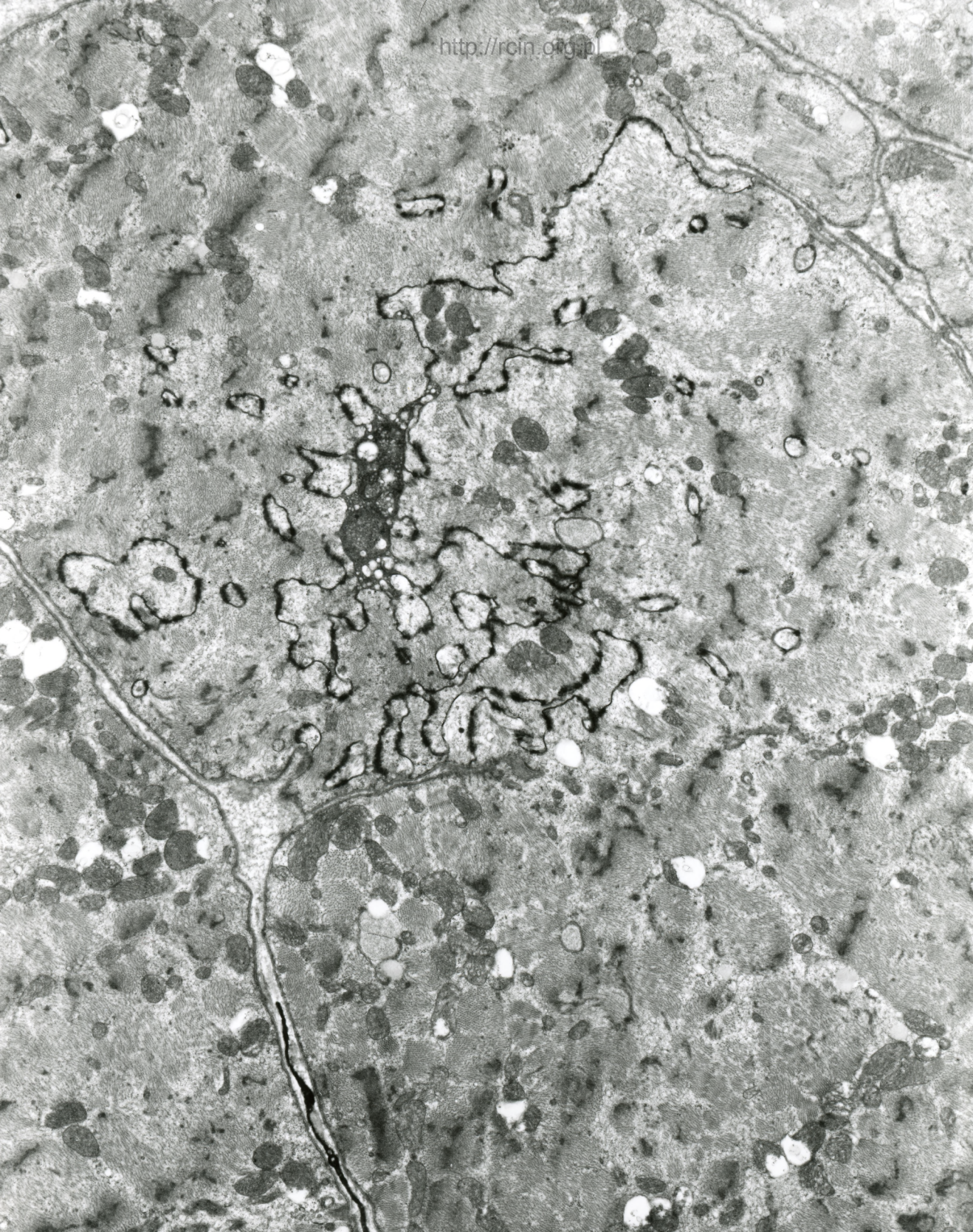
24

Fig. 2



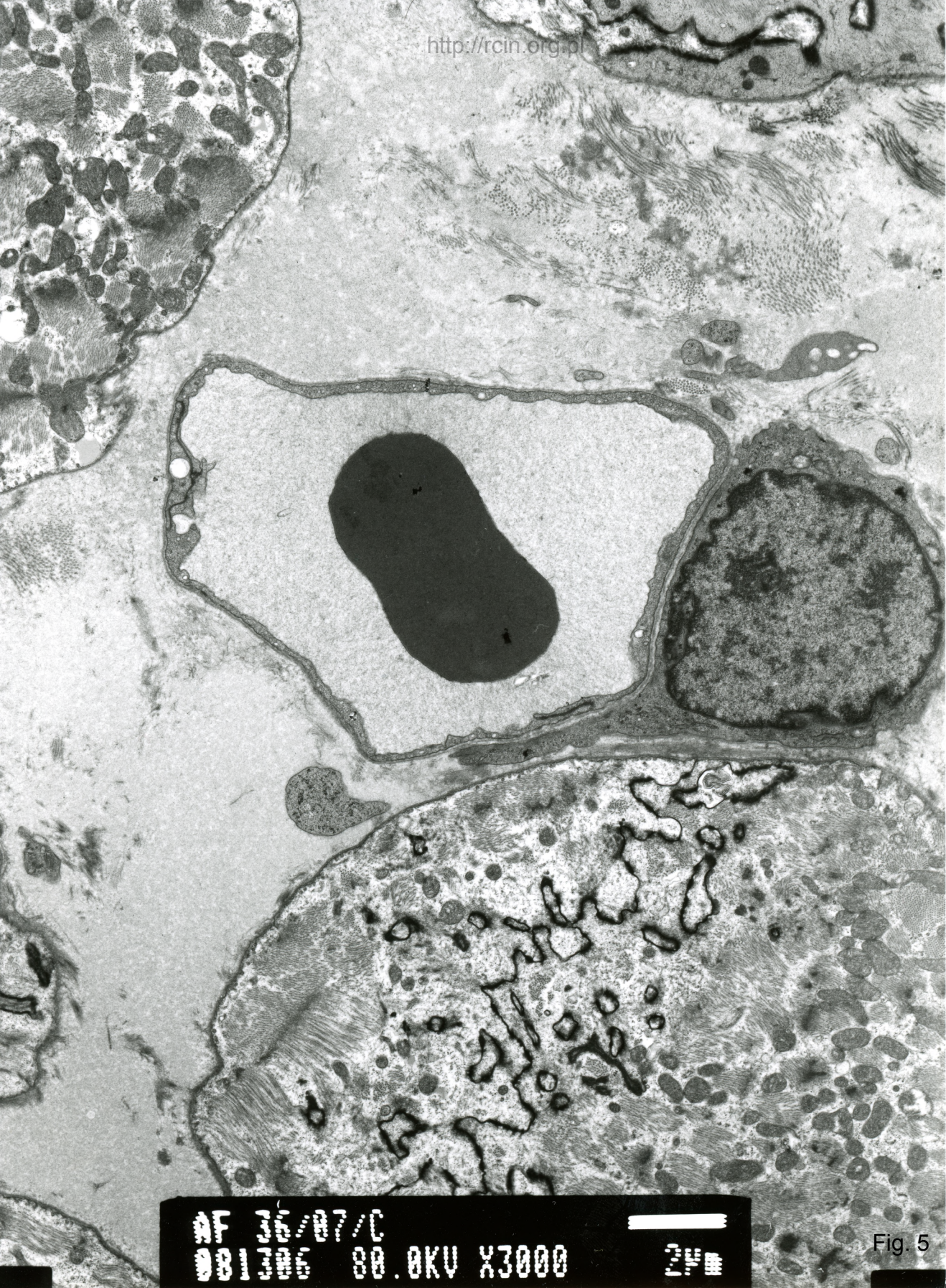
AF 36/07/SER
072536 80.0KV X3000

Fig. 3



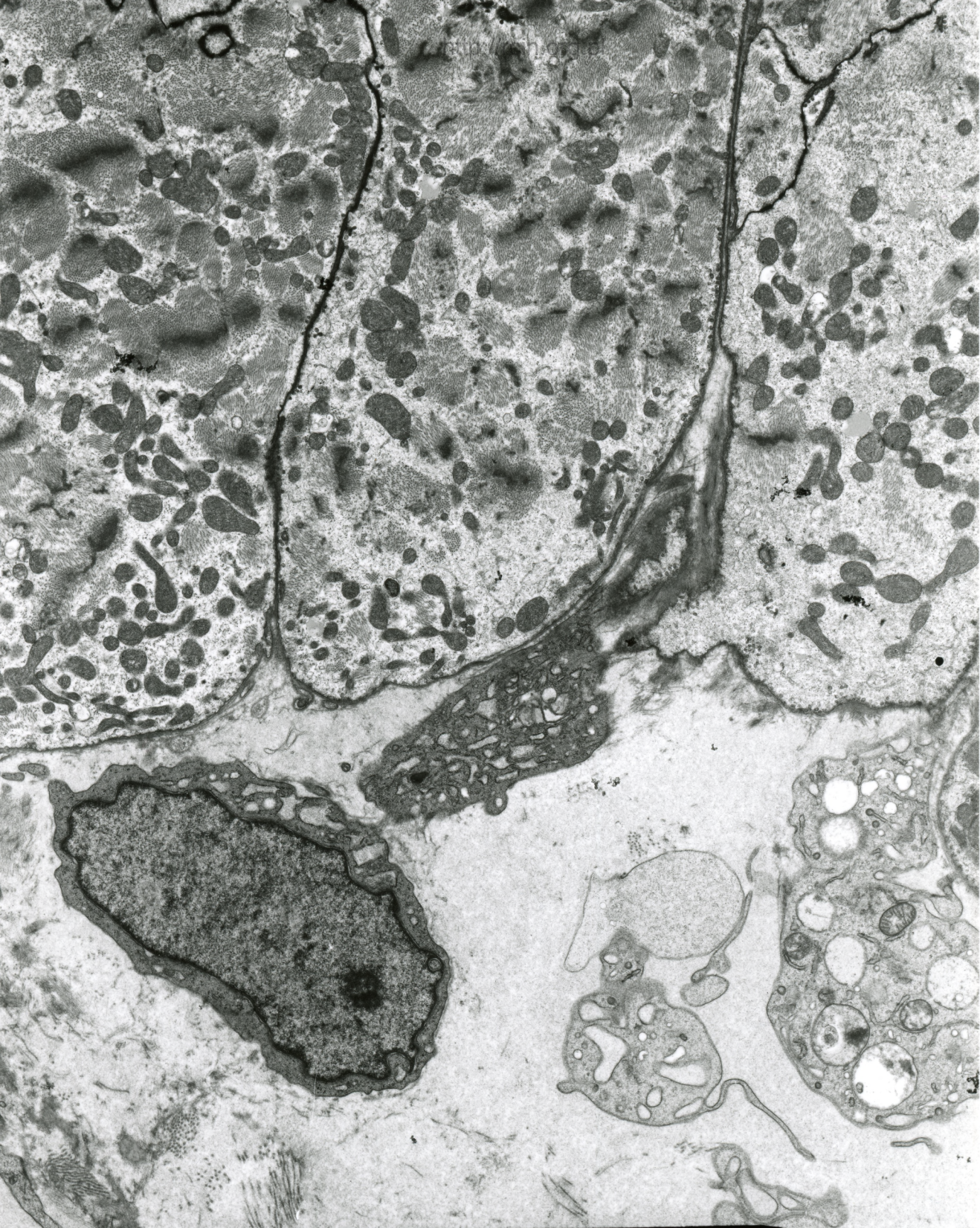
AF 36/07/SER
072501 80.0KV X3000 2/4

Fig. 4



AF 25/07/C
081206 80.0KV X3000 2µm

Fig. 5

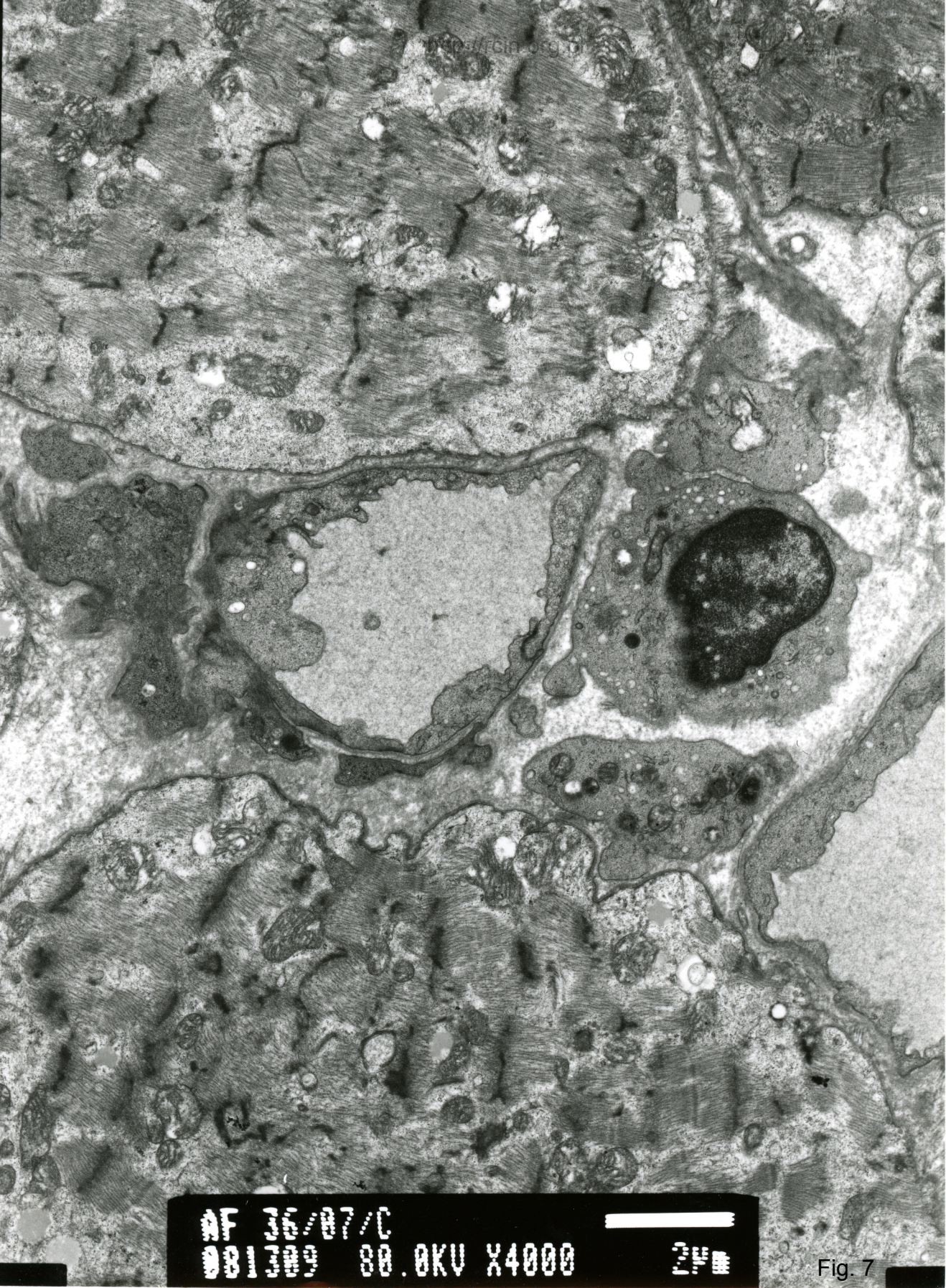


AF 25/07/C
001704 88.0KV X3000



2µm

Fig. 6



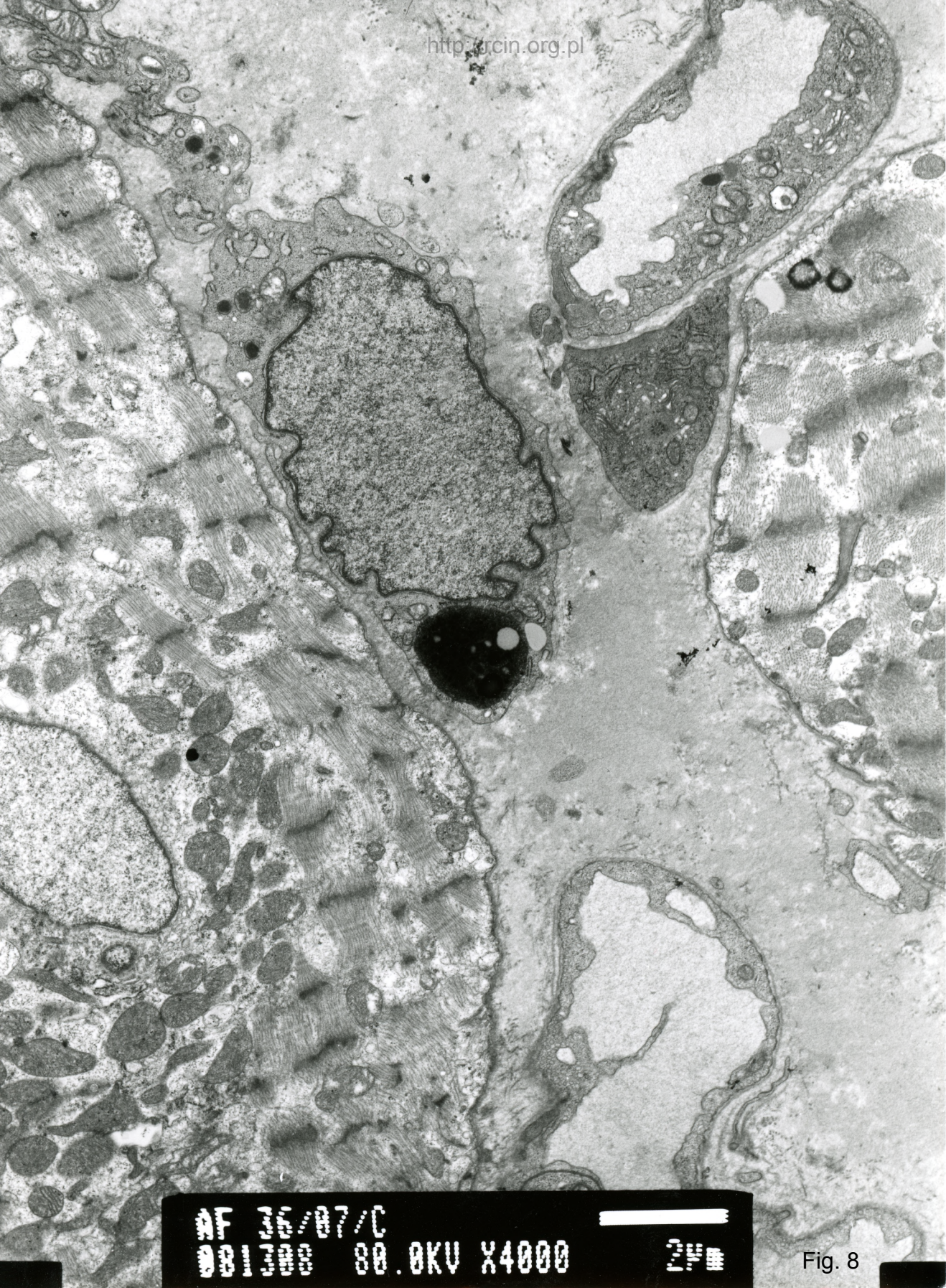
001309 88.0KV X4000

AF 36/07/C
001309 88.0KV X4000



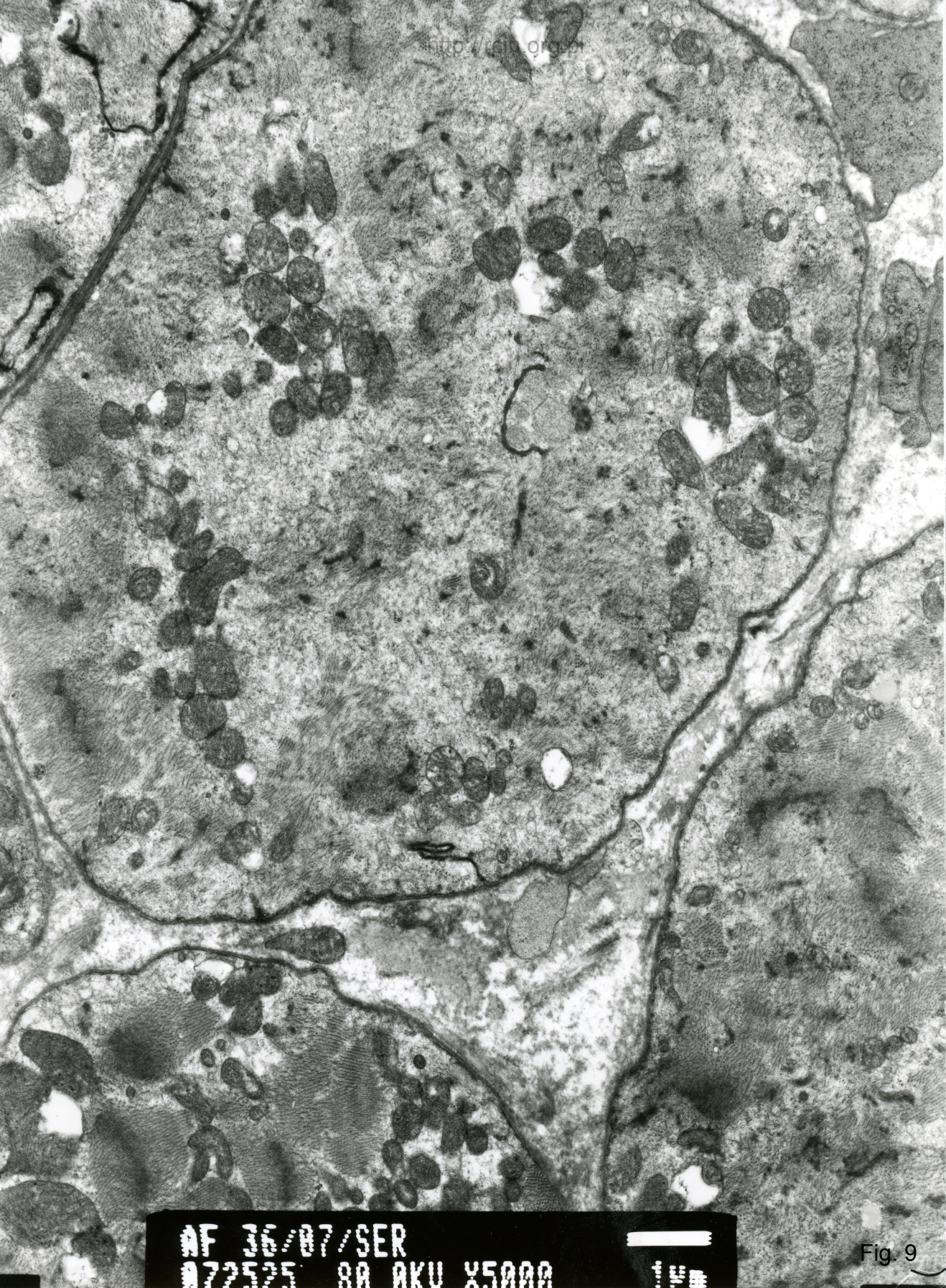
2µm

Fig. 7



AF 26/07/C
001300 80.0KV X4000 24

Fig. 8



http://www.oxfordjournals.org/

AF 36/87/SER
072525 SA AKU X5000

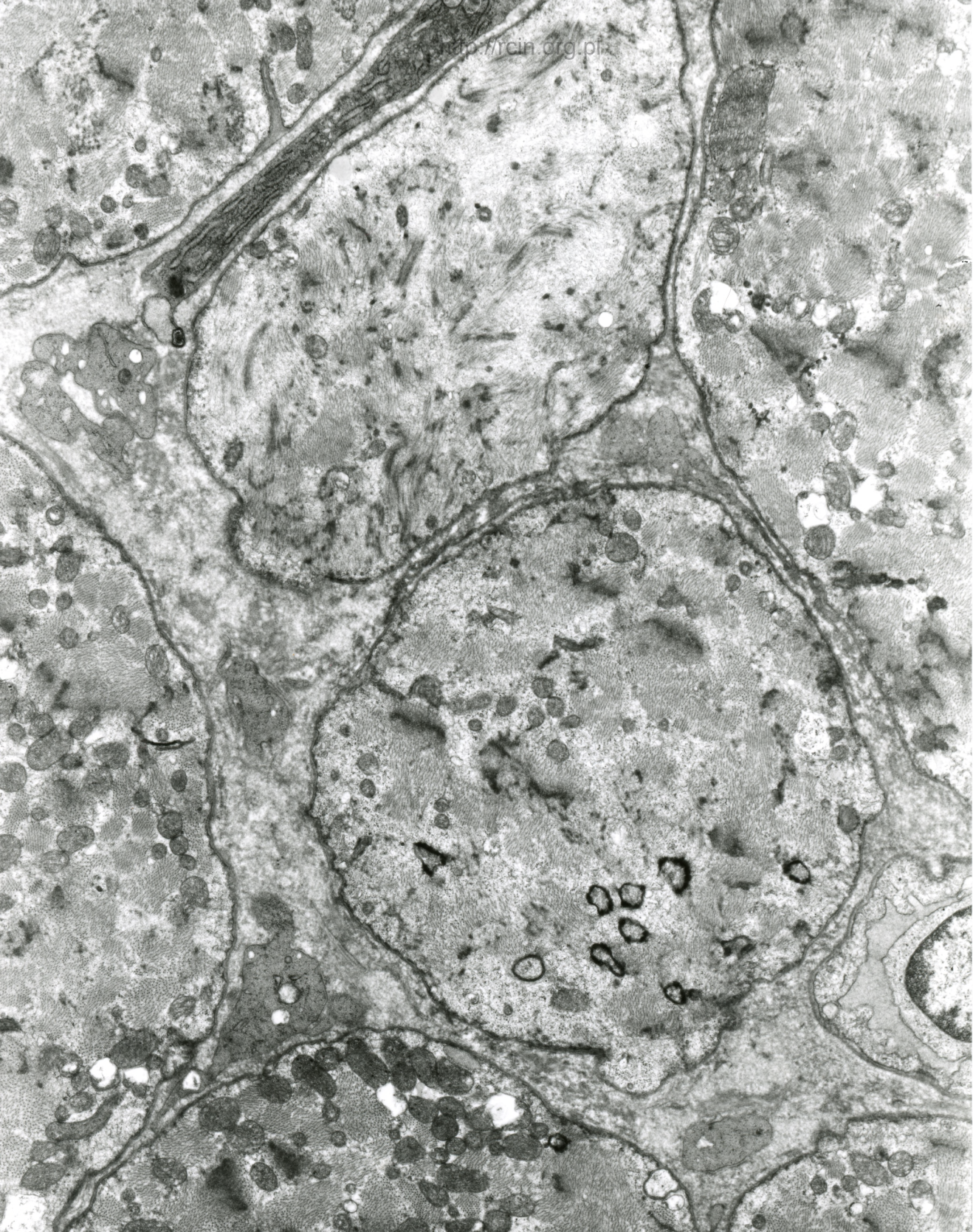


Fig. 9

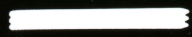


AF 38/07/SER
072526 88.0KV X5000

Fig.10

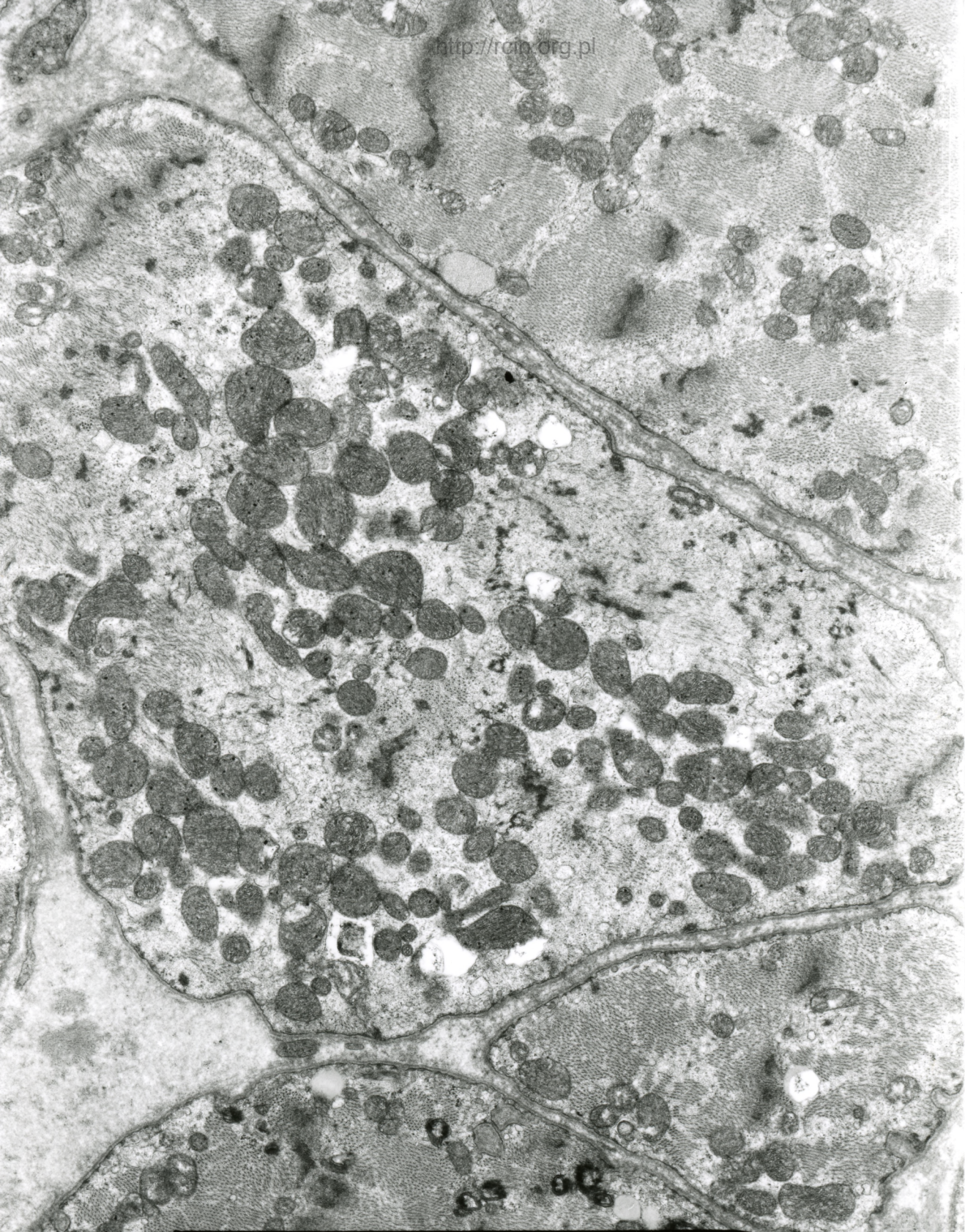


NF 26/07/SER
072527 80.0KV X4000



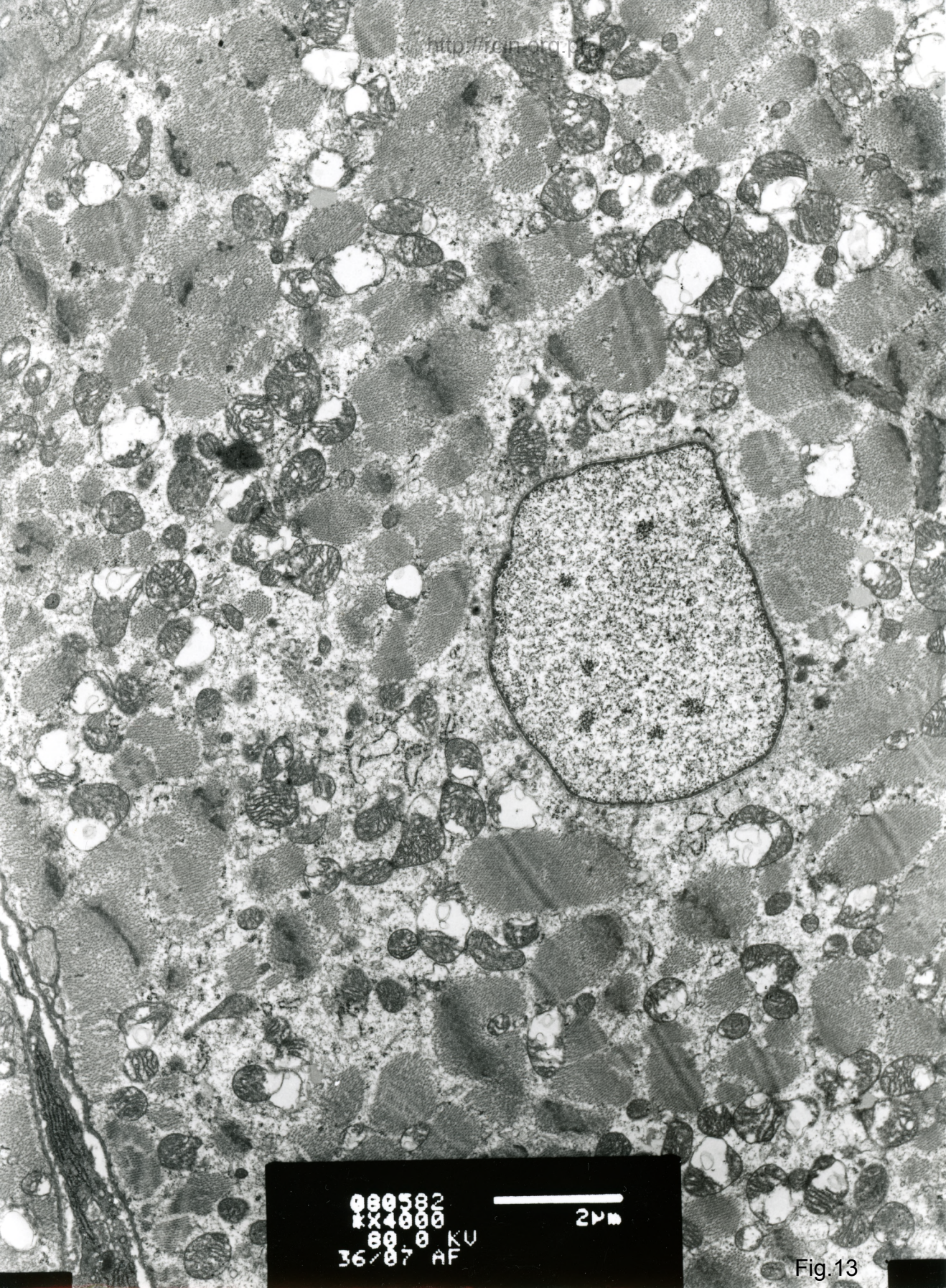
2µm

Fig.11



NF 36/07/SER
072532 80.0KV X5000

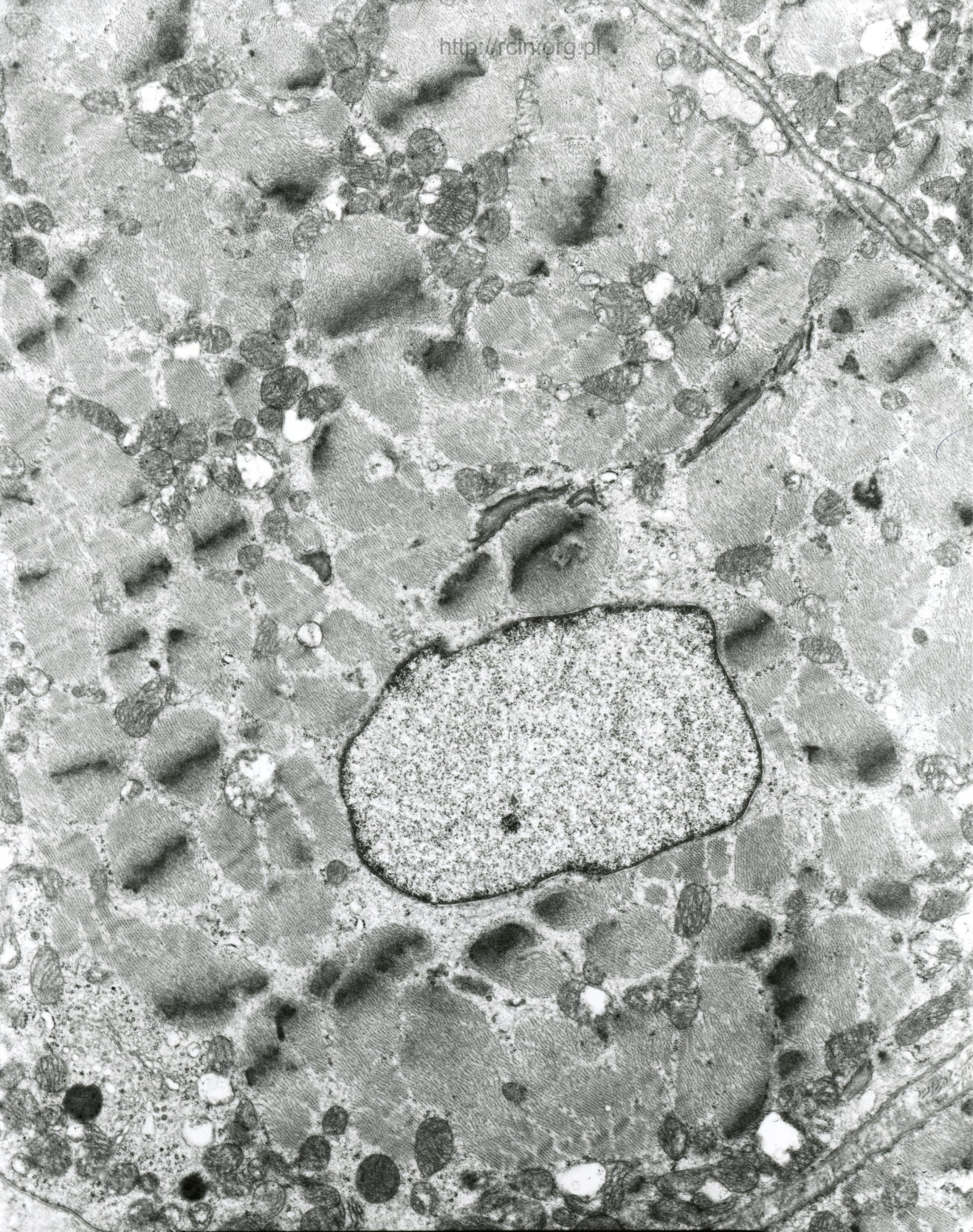
Fig.12



080582
KX4000
60 0
36/07 AF KU

2µm

Fig.13



AF 36/07/SERCE
081053 80.0KV X4000



Fig.14



normal

AF 35/07/SERCE
081017 80.0KV X5000

Fig.15

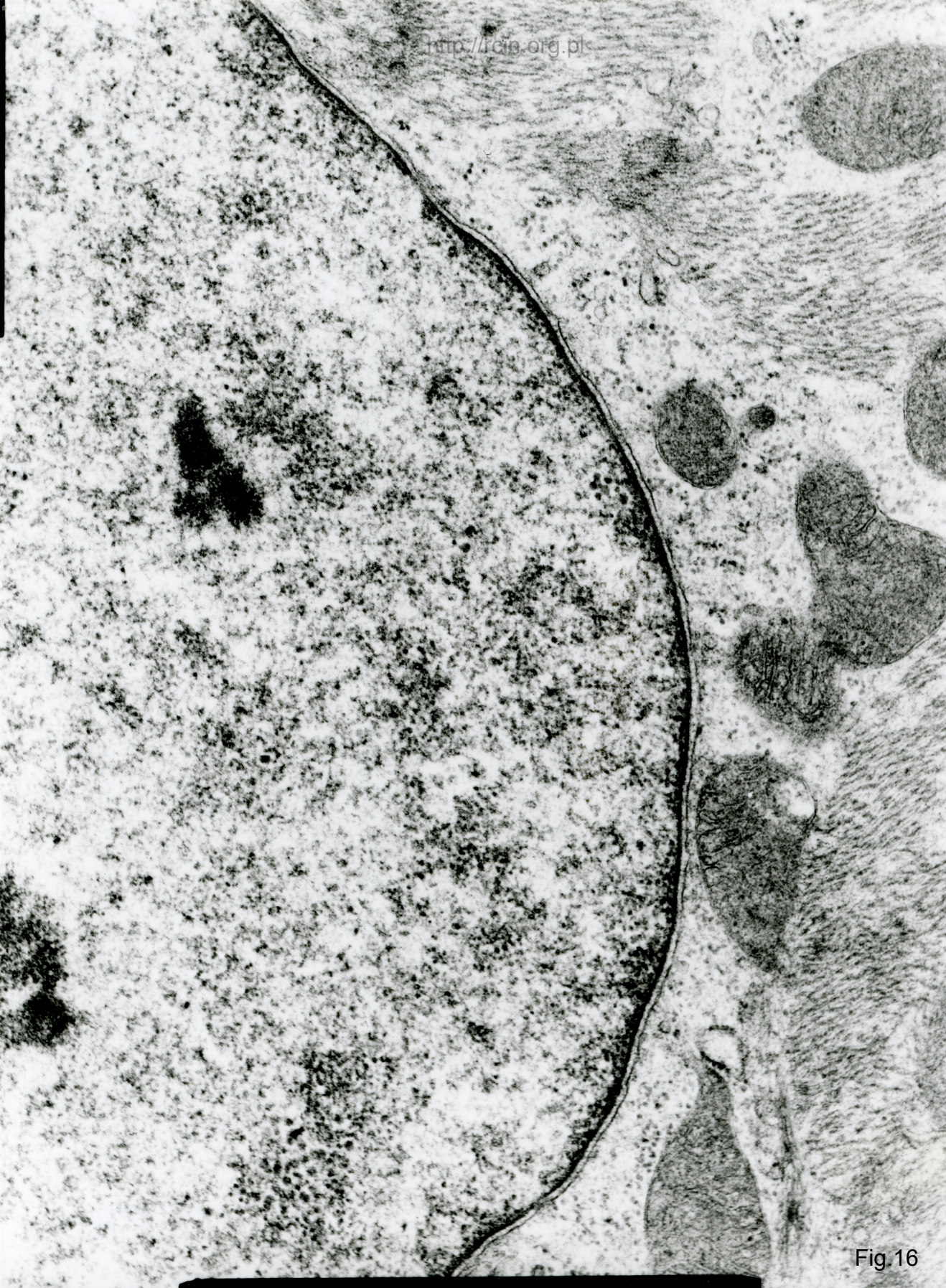


Fig.16

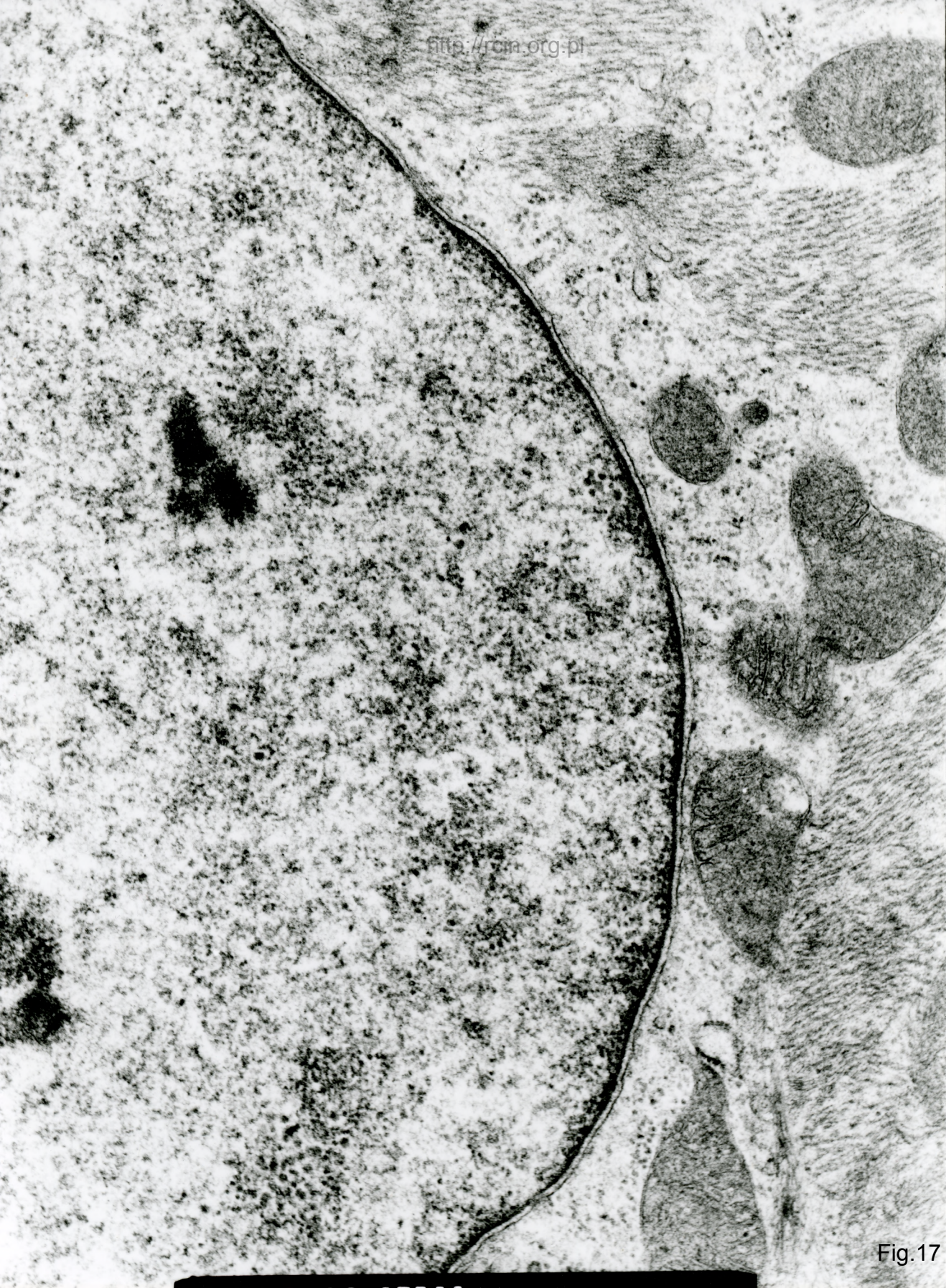
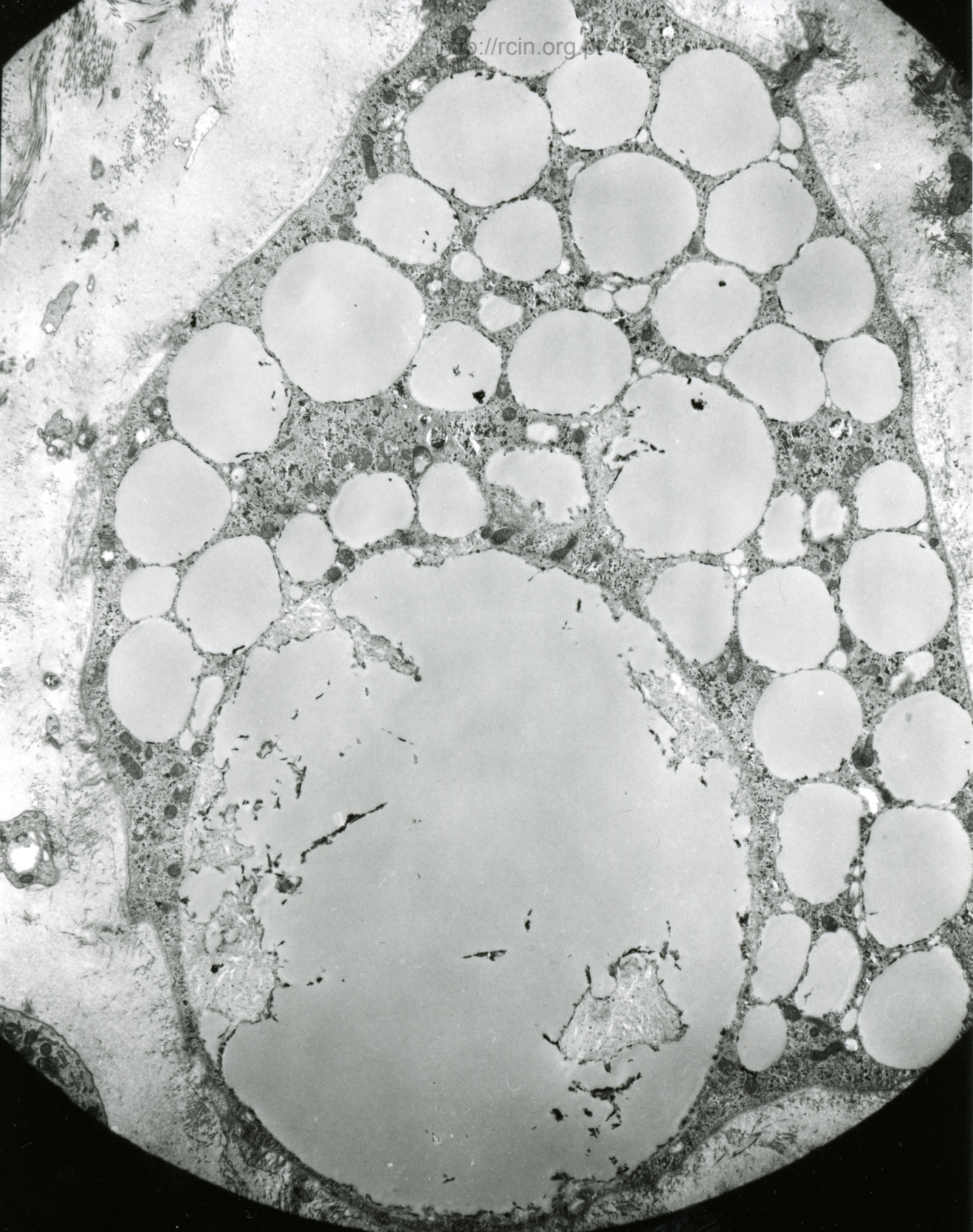


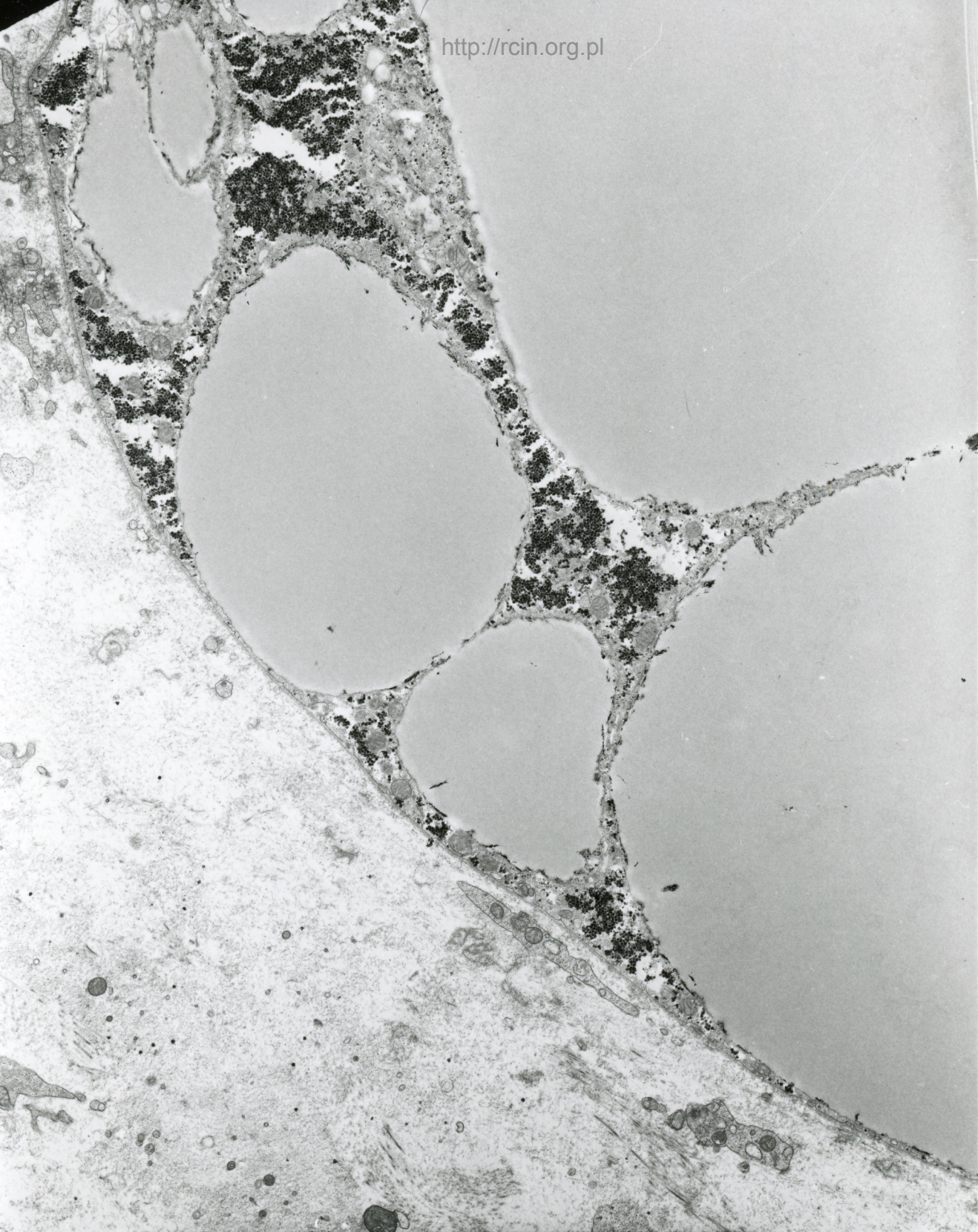
Fig.17



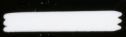
AF 36/07/C
001604 80.0KV X2000



Fig. 18

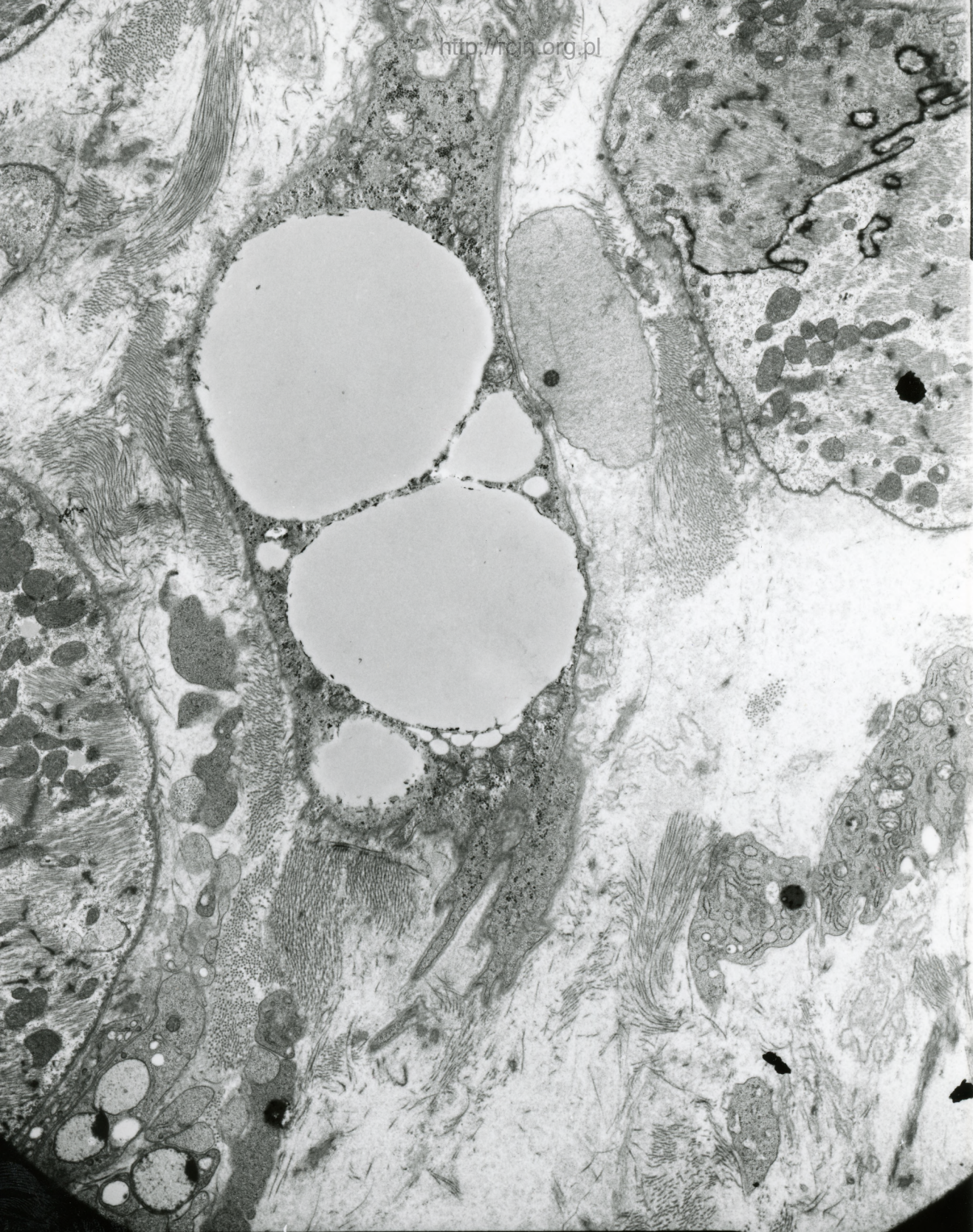


AF 36/07/SERCE
001406 80.0KV X2500



2µm

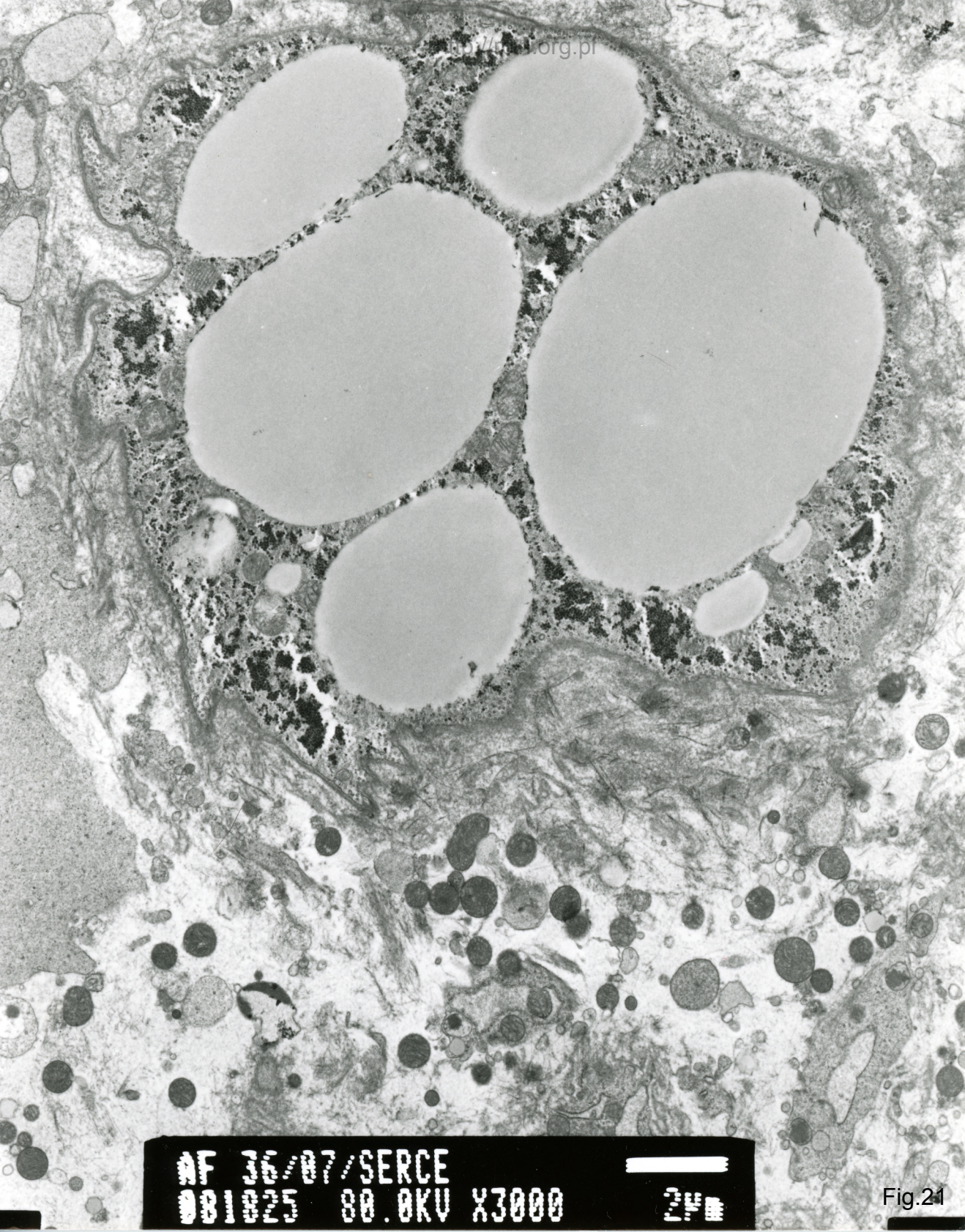
Fig.19



AF 26/07/C
001202 80.0KV X2500



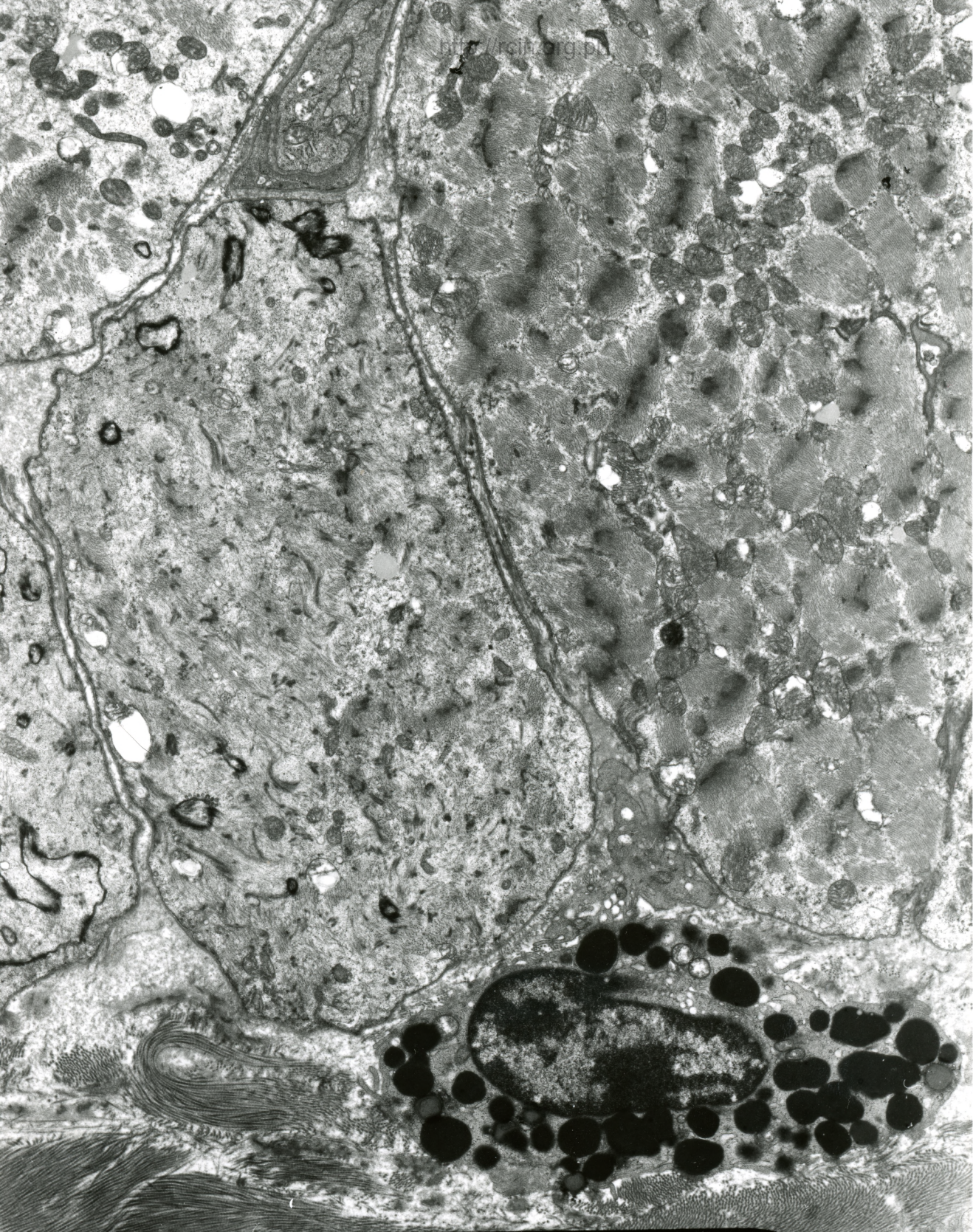
Fig.20



www.org.pl

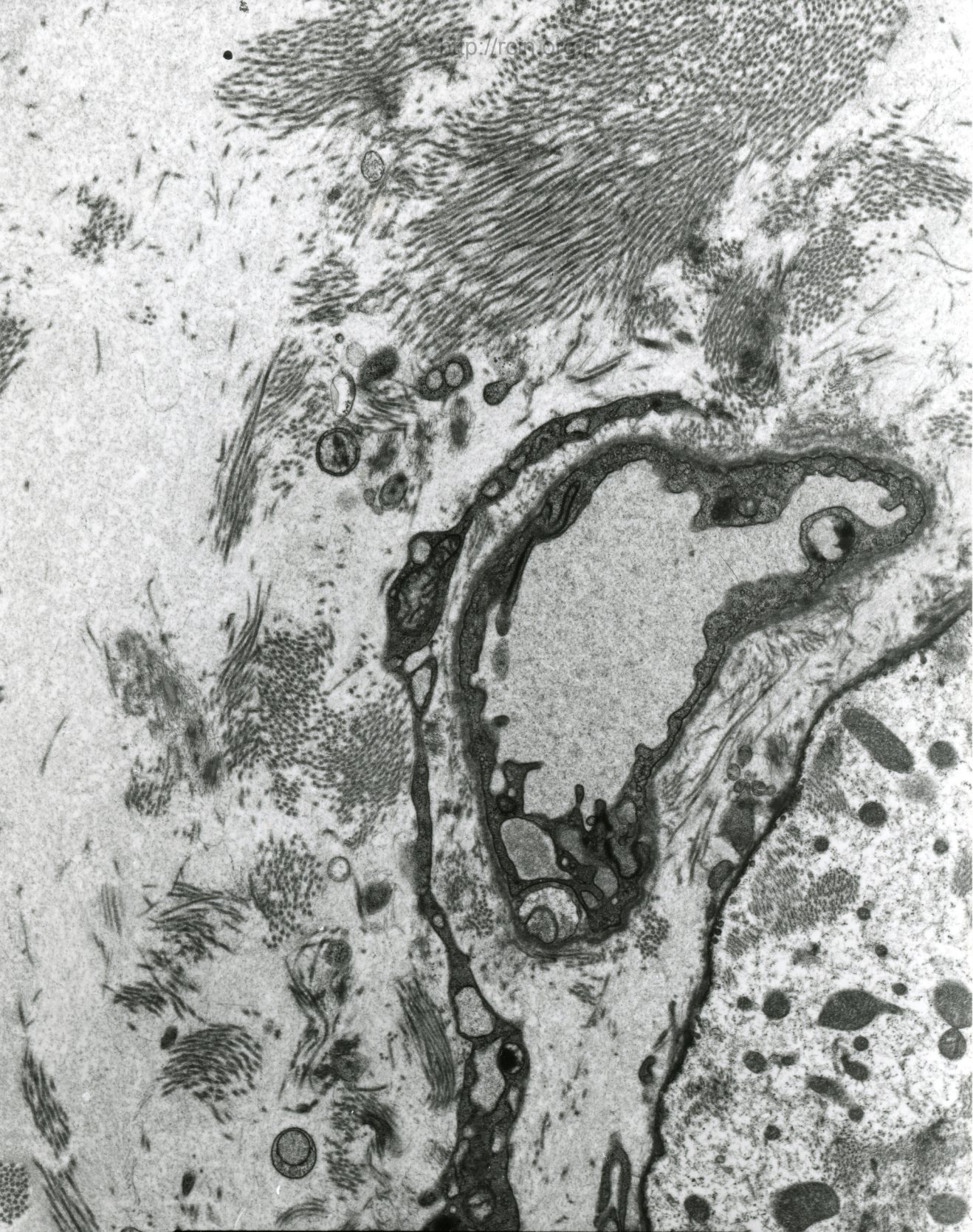
AF 36/07/SERCE
081025 80.0KV X3000 2µm

Fig.21



AF 25/07/C
00114 88.0KV X3000 2µm

Fig.22



AF 25/07/C
081202 00.0KV X5000

Fig.23



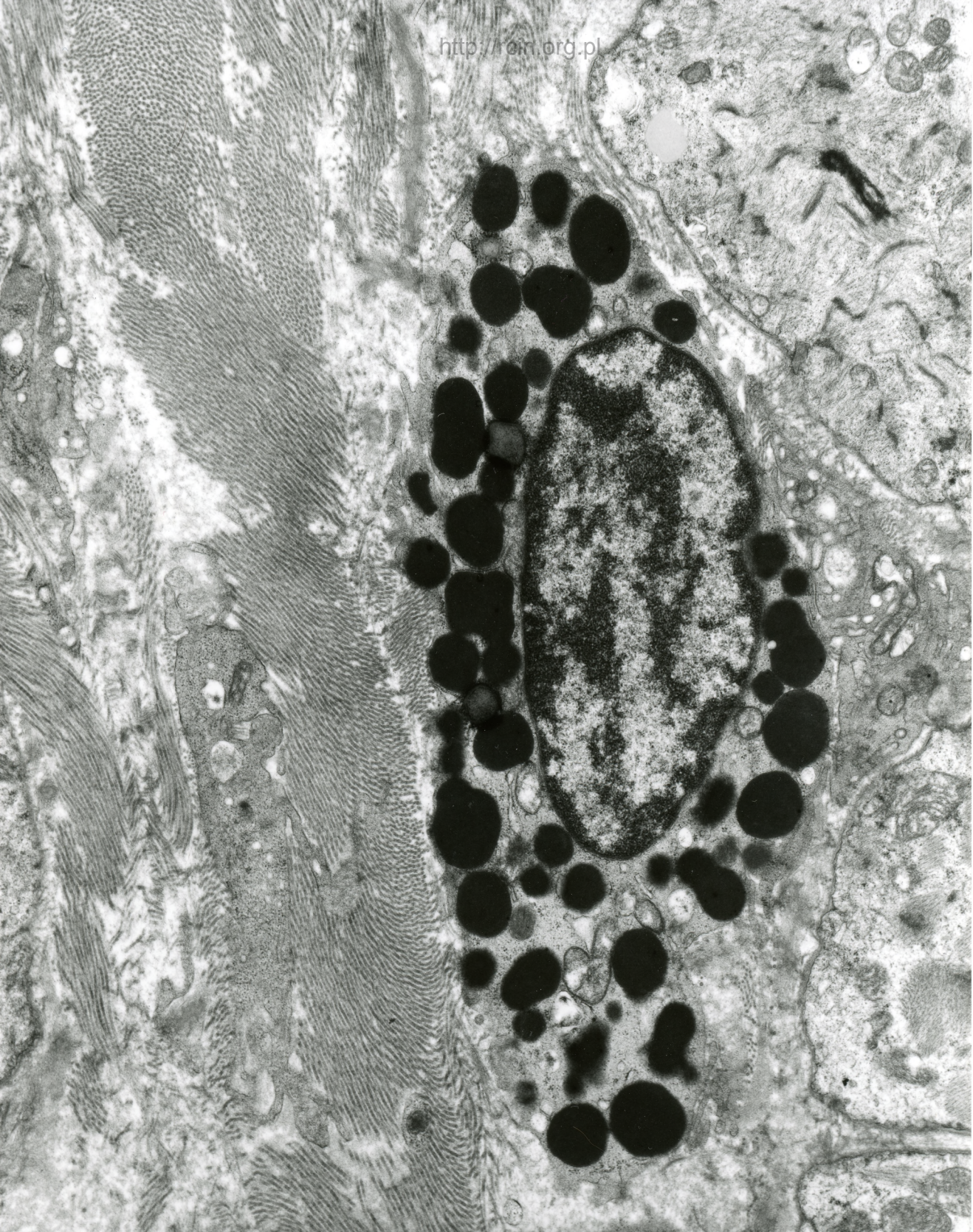
AF 28/07/C
081665 80.0KV X5000

Fig.24



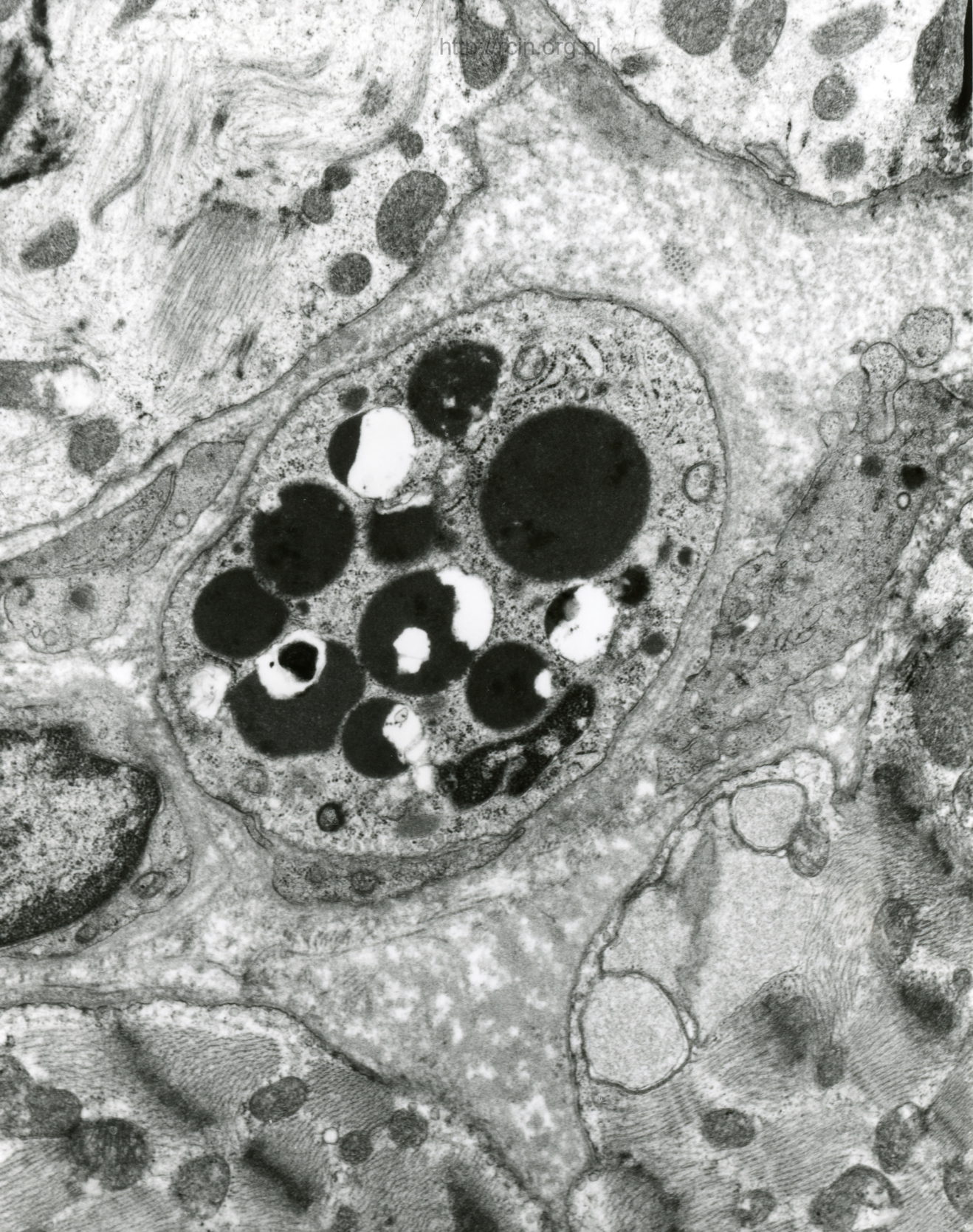
AF 36/07/C
001603 80.0KV X7500

Fig.25



AF 26/07/C
001610 80.0KV X5000

Fig.26



AF 36/07/C
001607 80.0KV X7500

Fig.27

36/07

Rozpoznanie: kardiomiopatia popołożowa

Analiza ultrastrukturalna wykazała zmiany aparacie kurczliwym kardiomiocytów. Struktura sarkomerów była zatarta, obserwowano też zaburzenia w układzie miofibrili, miejscowo ich rozproszenie, a nawet zanik (Fig. 1-12). Obserwowano prawidłowe jądra komórkowe, natomiast część mitochondriów charakteryzowała się ubytkiem grzebieni mitochondrialnych (Fig. 13-17). W bioptacie obecne były liczne krople tłuszczu różnej wielkości (Fig. 18-21). Przestrzeń zewnątrzkomórkowa wypełniona była obfitą tkanką łączną, obecne były też komórki układu odpornościowego, przede wszystkim komórki tuczne (Fig. 22-27).

Heart biopsy from patient with postpartum cardiomyopathy was taken and examined.

Ultrastructural analysis revealed changes in the contractile apparatus of cardiomyocytes. The structure of sarcomeres was blurred and myofibrils were disorganized and scattered (Figs. 1-12). Normal cell nuclei were observed, whereas some mitochondria were characterized by loss of mitochondrial cristae (Figs. 13-17). Numerous fat droplets of various sizes were present in the biopsy (Figs. 18-21). The extracellular space was filled with abundant connective tissue and immune cells, mainly mast cells, were observed (Figs. 22-27).